

# ГРАДИЕНТНЫЙ ПОДХОД К ОНЛАЙН ОПТИМИЗАЦИИ РОБАСТНЫХ УПРАВЛЯЕМЫХ СИСТЕМ СО СКОЛЬЗЯЩИМ РЕЖИМОМ

**А. В. Назин, д.ф.-м.н, в.н.с. лаб. 7 ИПУ РАН**

nazine@ipu.ru

**25 января 2024 г.**

УЧЕНЫЙ СОВЕТ ИПУ РАН

## ПЛАН ДОКЛАДА

0. Несколько слов. . .
1. Краткое введение
2. Нелинейный объект управления с неопределенностью.  
Постановка задачи
3. Краткие сведения о методе зеркального спуска (МЗС)
4. Желаемая динамика и МЗС в непрерывном времени
5. Синтез робастного контроллера. Основные результаты
6. Заключение
7. Список литературы

## 0 Несколько слов...

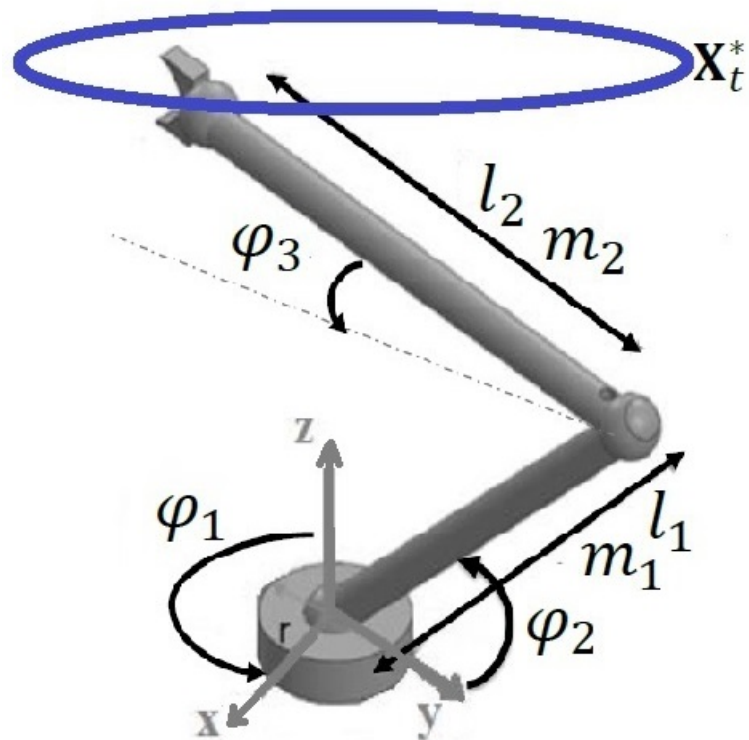
Доклад основан на трех недавних публикациях:

A.S. Poznyak, A.V. Nazin, H. Alazki. Integral Sliding Mode Convex Optimization in Uncertain Lagrangian Systems Driven by PMDC Motors: Averaged Subgradient Approach // *IEEE Trans. Autom. Control* **66** (9), 4267–4273 (1–8) (2021).

A.V. Nazin, H. Alazki, A.S. Poznyak. Robust Tracking as Constrained Optimization by Uncertain Dynamic Plant: Mirror Descent Method and ASG—Version of Integral Sliding Mode Control // *Mathematics* **11**, 4112, (2023)

A.V. Nazin, A.S. Poznyak. Non-quadratic proxy functions in Mirror Descent Method applied to designing of robust controllers for nonlinear dynamic systems with uncertainty // *Comput. Math. and Math. Phys.* 2024. Vol. 64. No. 4. (Accepted for publication.)

В первых двух этих статьях на вычислительных примерах иллюстрируется механический робот с тремя степенями свободы — двухзвенный робот. Здесь — для задачи слежения эталонной траектории  $X_t^*$ .



# 1 Краткое введение

Результаты, описанные ниже, основаны на двух известных подходах, казалось бы не связанных непосредственно между собой:

- методе зеркального спуска (МЗС), разработанного для задач выпуклой оптимизации статических стационарных систем, и
- скользящих режимах, применяемых для стабилизации и оптимизации динамических систем.

Вот несколько соответствующих ссылок.

По скользящим режимам:

С.В. Емельянов, В.И. Уткин, *Применение систем автоматического регулирования с переменной структурой для управления объектами, параметры которых изменяются в широких пределах*, Докл. АН СССР, 152:2 (1963), 299–301.

В. И. Уткин. *Скольльзящие режимы в задачах оптимизации и управления*. - М.: Наука, 1981. – 367 с.

V. Utkin, *Sliding Modes in Control Optimization*, (Springer Verlag, Berlin, 1992).

V. Utkin, A. Poznyak, Y.V. Orlov, A. Polyakov, *Road Map for Sliding Mode Control Design. SpringerBriefs in Mathematics*, (Springer International Publishing: Cham, Switzerland, 2020).

По методу зеркального спуска (МЗС):

А.С. Немировский, Д.Б. Юдин. *Сложность задач и эффективность методов оптимизации*. М.: Наука, 1979.

A.S. Nemirovski, D.B. Yudin, *Problem Complexity and Method Efficiency in Optimization* (Chichester, Wiley, 1983).

A. Ben-Tal, A.S. Nemirovski, *The Conjugate Barrier Mirror Descent Method for Non-Smooth Convex Optimization*. MINERVA Optim. Center Report. (Haifa, Faculty of Industrial Engineering and Management, Technion – Israel Institute of Technology, 1999).

В версии МЗС с сопряженной переменной:

А.Б. Юдицкий, А.В. Назин, А.Б. Цыбаков, Н. Ваятис. Рекуррентное агрегирование оценок методом зеркального спуска с усреднением // *Пробл. передачи информ.*, 41:4 (2005), 78–96.

А.В. Назин. Алгоритмы инерционного зеркального спуска в выпуклых задачах стохастической оптимизации // *Автомат. и телемех.*, 2018, 1, 100–112.

---

*Далее показывается, что возможно объединение этих идей или подходов при некоторых предположениях.*

---

Задачи оптимизации и методы их итеративного решения интенсивно исследуются на протяжении последних десятилетий (см., например, [1–4]). Эти методы также были распространены на процессы оптимизации для класса статических объектов [5–8], где стратегии управления в большинстве публикаций, трактуемые как *методы статической оптимизации* (МСО), в непрерывном времени могут быть представлены в следующем виде:

$$F(x_t) \xrightarrow{t \rightarrow \infty} F^* := \min_{x \in X_{adm} \subseteq \mathbb{R}^n} F(x), \quad (1)$$

где  $F : \mathbb{R}^n \rightarrow \mathbb{R}$  — выпуклая целевая функция,  $X_{adm}$  — выпуклое допустимое множество, а процесс  $(x_t)_{t \geq 0}$  порождается ОДУ

$$\dot{x}_t = u_t, \quad t \geq 0, \quad x_0 \in \mathbb{R}^n. \quad (2)$$

Все известные процедуры МСО отличаются лишь построением управляющего воздействия  $u_t$  (или алгоритма оптимизации) в

зависимости от текущего состояния  $x_t$  (стратегия Маркова) или более глубокой доступной истории, а именно:

$$u_t = u(t, x_\tau |_{\tau \in [0, t]}).$$

Далее мы рассматриваем более общую и более сложную ситуацию, когда процесс  $(x_t)_{t \geq 0}$  генерируется *нелинейным динамическим объектом* [9, 10]

$$\left. \begin{aligned} \ddot{x}_t &= \mathbf{f}(t, x_t, \dot{x}_t) + u_t, \quad t \geq 0, \\ x_0, \dot{x}_0 &\text{ заданы, } x_t, u_t \in \mathbb{R}^n, \end{aligned} \right\} \quad (3)$$

где вектор-функция  $\mathbf{f}$  в правой части предполагается неизвестной, но принадлежащей некоторому классу нелинейностей  $\mathcal{C}$ . Эта проблема больше похожа на задачу поиска экстремума [5], [15–17], где нелинейная динамика содержит только производные первого порядка. Отметим также [18]–[24]; подробности см. в [9] и [10].

## 2 Нелинейный объект управления с неопределенностью

### 2.1 Динамическая модель

Динамическая модель второго порядка (3) (см., например, [9, 22, 24]) может быть представлена следующим расширенным форматом:

$$\left. \begin{aligned} \begin{pmatrix} \dot{\mathbf{x}}_{1,t} \\ \dot{\mathbf{x}}_{2,t} \end{pmatrix} &= \begin{pmatrix} \mathbf{x}_{2,t} \\ \mathbf{f}(t, \mathbf{x}_{1,t}, \mathbf{x}_{2,t}) \end{pmatrix} + \begin{pmatrix} 0_{n \times n} \\ I_{n \times n} \end{pmatrix} u_t, \\ \mathbf{x}_{1,t_0} = \dot{\mathbf{x}}_1 &\in \mathbb{R}^n, \quad \mathbf{x}_{2,t_0} = \dot{\mathbf{x}}_2 \in \mathbb{R}^n, \quad u_t \in \mathbb{R}^n. \end{aligned} \right\} \quad (4)$$

Здесь переменные расширенного пространства состояний  $\mathbf{x}_{1,t} = x_t$ ,  $\mathbf{x}_{2,t} = \dot{x}_t$  — текущие координаты и их производные по времени,

$t \geq 0$ . Функция  $\mathbf{f} : \mathbb{R} \times \mathbb{R}^n \times \mathbb{R}^n \rightarrow \mathbb{R}$  кусочно-непрерывная по всем переменным  $t \geq 0$ ,  $\mathbf{x}_1 \in \mathbb{R}^n$ ,  $\mathbf{x}_2 \in \mathbb{R}^n$ , и предполагается неизвестной, но ограниченной:

$$\|\mathbf{f}(t, \mathbf{x}_1, \mathbf{x}_2)\|_2 \leq k_x(\mathbf{x}_1, \mathbf{x}_2) := c_0 + c_1 \|\mathbf{x}_1\|_2 + c_2 \|\mathbf{x}_2\|_2 \quad (5)$$

с конечными положительными константами  $c_0, c_1, c_2$ . Эта неизвестная функция может включать в себя неизмеряемые непотенциальные силы, такие как кулоновское трение, гистерезис, кориолис, демпфирование, центробежные эффекты и другие. При  $c_0 > 0$  можно учитывать и ограниченные возмущения.

## 2.2 Эталонная траектория, динамика ошибок слежения и допустимая зона

Цель контроллера (см. ниже) — реализовать отслеживание состояния  $\mathbf{x}_t$  относительно заданной эталонной траектории  $\{\mathbf{x}_t^*\}_{t \geq 0}$ . Определим *ошибку отслеживания*  $\delta_{1,t}$ ,  $\delta_{2,t}$  как

$$\delta_{1,t} := \mathbf{x}_{1,t} - \mathbf{x}_{1,t}^*, \quad \delta_{2,t} := \dot{\delta}_{1,t} = \mathbf{x}_{2,t} - \mathbf{x}_{2,t}^*, \quad (6)$$

где  $\mathbf{x}_{1,t}^*$  — это дважды непрерывно дифференцируемая траектория, которую нужно отслеживать, удовлетворяющую

$$\dot{\mathbf{x}}_{1,t}^* = \mathbf{x}_{2,t}^* = \varphi(t, \mathbf{x}_{1,t}^*), \quad t \geq 0; \quad \mathbf{x}_{1,0}^* \text{ задано.} \quad (7)$$

С учетом этого динамику отслеживания ошибок можно представить следующим образом:

$$\left. \begin{aligned} \begin{pmatrix} \dot{\delta}_{1,t} \\ \dot{\delta}_{2,t} \end{pmatrix} &= \begin{pmatrix} \delta_{2,t} \\ \mathbf{f}_\delta(t, \delta_{1,t}, \delta_{2,t}) \end{pmatrix} + \begin{pmatrix} 0_{n \times n} \\ I_{n \times n} \end{pmatrix} u_t, \\ \mathbf{f}_\delta(t, \delta_{1,t}, \delta_{2,t}) &:= \mathbf{f}(t, \delta_{1,t} + \mathbf{x}_{1,t}^*, \delta_{2,t} + \mathbf{x}_{2,t}^*) - \dot{\mathbf{x}}_{2,t}^*. \end{aligned} \right\} \quad (8)$$

Потребуем, чтобы динамика  $\delta_{1,t}$  реализовывалась за время  $t \geq t_0 \geq 0$  в пределах ограниченного допустимого множества  $\mathcal{D}_{adm}$ .

**Формулировка задачи:** Основная цель — разработать робастное управление (что означает успешную работу замкнутой системы на классе неопределенности (5)), минимизирующее ошибку отслеживания  $\delta_{1,t}$  в смысле функциональной верхней границы

$$F(\delta_{1,t}) - \min_{\delta_1 \in \mathcal{D}_{adm}} F(\delta_1) \leq O(t^{-1}). \quad (9)$$

Примеры целевых функций:

$$1) F(\delta_1) = \sum_{i=1}^n |\delta_{1,i}| = \|\delta_1\|_1,$$

$$2) F(\delta_1) = \sum_{i=1}^n |\delta_{1,i}|_{\varepsilon}^+, \quad |z|_{\varepsilon}^+ := \begin{cases} z - \varepsilon & , \text{ если } z \geq \varepsilon \\ -z - \varepsilon & , \text{ если } z \leq -\varepsilon \\ 0 & , \text{ если } |z| < \varepsilon \end{cases} \quad (10)$$

### 3 Краткие сведения о МЗС [25, 27]

Структура МЗС основывается на использовании преобразования Лежандра–Фенхеля [26]:

$$U_*(\zeta) = \max_{x \in X_{adm}} \{\zeta^T x - U(x)\}, \quad \forall \zeta \in E^*, \quad (11)$$

где исходное пространство  $E = \mathbb{R}^n \supseteq X_{adm}$  оснащено нормой  $\|\cdot\|$  (не обязательно евклидовой), непрерывно дифференцируемая сильно выпуклая функция  $U : X_{adm} \rightarrow \mathbb{R}$  представляет прокси-функцию (определение см. ниже). Введем сопряженное пространство  $E^* = \mathbb{R}^n$ , оснащенное двойственной нормой

$$\|\zeta\|_* = \max_{\|x\|=1} \zeta^T x, \quad \forall \zeta \in E^*.$$

Сопряженная функция  $U_*$  в (11) имеет соответствующее концептуальное свойство относительно сильной выпуклости  $U$ .

**Определение 1** Пусть  $\alpha$  — положительный параметр, и пусть  $\|\cdot\|$  — норма исходного пространства  $E = \mathbb{R}^n$ . Выпуклая функция  $U : X_{adm} \rightarrow \mathbb{R}$  называется  $\alpha$ -сильно выпуклая относительно соответствующей нормы  $\|\cdot\|$ , если

$$U(sx + (1-s)\tilde{x}) \leq sU(x) + (1-s)U(\tilde{x}) - \frac{\alpha}{2}s(1-s)\|x - \tilde{x}\|^2 \quad (12)$$

для всех  $x, \tilde{x} \in X_{adm}$  и всякого  $s \in [0, 1]$ .

**Предположение (L).** Выпуклая функция  $U : X_{adm} \rightarrow \mathbb{R}$  такова, что ее сопряженная  $U_*$  непрерывно дифференцируемая на  $E^*$  и ее градиент  $\nabla U_*$  удовлетворяет неравенству

$$\|\nabla U_*(\zeta) - \nabla U_*(\tilde{\zeta})\| \leq \frac{1}{\alpha}\|\zeta - \tilde{\zeta}\|_*, \quad \forall \zeta, \tilde{\zeta} \in E^*,$$

где  $\alpha$  — положительная постоянная.

**Утверждение 1** (ср. [26, 27]) Пусть функция  $U : X_{adm} \rightarrow \mathbb{R}$  выпуклая. Тогда сопряженная  $U_*$  к функции  $U$  имеет следующие свойства:

1. Функция  $U_* : E^* \rightarrow \mathbb{R}$  выпуклая и имеет сопряженную  $U$ , т.е.

$$\forall x \in X_{adm}, \quad U(x) = \sup_{\zeta \in E^*} \{ \zeta^T x - U_*(\zeta) \} .$$

2. Если функция  $U$   $\alpha$ -сильно выпуклая относительно нормы  $\| \cdot \|$ , то

(i) Предположение (L) справедливо,

(ii)  $\operatorname{argmax}_{x \in X_{adm}} \{ \zeta^T x - U(x) \} = \nabla U_*(\zeta) \in X_{adm}$  ,  $\forall \zeta \in E^*$ .

Доказательство этого утверждения см. [28, 29].

**Определение 2** Функция  $U : X_{adm} \rightarrow \mathbb{R}_+$  называется прокси функцией, если она выпуклая и

(i) существует точка  $x_* \in X_{adm}$ , для которой

$$\min_{x \in X_{adm}} U(x) = U(x_*),$$

(ii) Предположение (L) справедливо.

Отметим, что равенство в пункте 2.ii утверждения 1 обеспечивает отображение  $E^*$  на множество  $X_{adm}$ , поскольку

$$\nabla U_*(\zeta) = \arg \max_{x \in X_{adm}} \{\zeta^\top x - U(x)\}, \quad \forall \zeta \in E^*, \quad (13)$$

что представляет собой ключевую конструкцию методов зеркального спуска.

## 4 Желаемая динамика и МЗС в непрерывном времени

Далее используем обозначение допустимого множества

$$X_{adm} := \mathcal{D}_{adm}. \quad (14)$$

### 4.1 Основные предположения A1 – A5

**A1** Текущий вектор состояний и их производные по времени  $(\mathbf{x}_t, \dot{\mathbf{x}}_t) \in \mathbb{R}^n \times \mathbb{R}^n$  объекта (4) предполагаются измеряемыми (доступными) онлайн и непрерывно дифференцируемы в любой момент времени  $t \geq 0$ .

**A2** Функция  $\mathbf{f} : \mathbb{R}^{1+2n} \rightarrow \mathbb{R}^n$ , удовлетворяющая (5), кусочно непрерывна по всем переменным и неизвестна.

**A3** Текущий вектор состояний эталонной траектории и его производная по времени  $(\mathbf{x}_t^*, \dot{\mathbf{x}}_t^*) \in \mathbb{R}^n \times \mathbb{R}^n$  также должны быть доступными онлайн и непрерывно дифференцируемыми для каждого момента времени  $t \geq 0$ .

**A4** Предполагается, что субградиент  $F' : \mathbb{R}^n \rightarrow \mathbb{R}^n$  функции потерь  $F : \mathbb{R}^n \rightarrow \mathbb{R}$  доступен онлайн на ошибке слежения  $\delta_{1,t}$  в текущий момент  $t \geq 0$ , и что множество оптимизаторов  $\delta_1^*$  функции  $F(\cdot)$  на множестве  $\mathcal{D}_{adm}$  включает в себя начало координат  $\delta_1^* = 0$ , то есть

$$0 \in \mathit{Arg} \min_{\delta_1 \in \mathcal{D}_{adm}} F(\delta_1).$$

**A5** Допустимое множество  $\mathcal{D}_{adm}$  является непустым выпуклым компактом.

## 4.2 Инерционный МЗС (ИМЗС) в непрерывном времени

Определим динамику сопряженной переменной  $\zeta_t \in \mathbb{R}^n$  и исходной переменной  $\delta_{1,t} \in \mathbb{R}^n$  как

$$\left. \begin{aligned} \dot{\zeta}_t &= -F'(\delta_{1,t}), \quad F'(\delta_{1,t}) \in \partial F(\delta_{1,t}), \quad \zeta_{t_0} = 0, \\ (t + \theta) \dot{\delta}_{1,t} + \delta_{1,t} &= \nabla U_* (\zeta_t - \eta), \quad t \geq t_0 \geq 0, \quad \eta \in \mathbb{R}^n, \quad \theta > 0. \end{aligned} \right\} \quad (15)$$

**Замечание 1** Второе дифференциальное уравнение в (15) можно проинтегрировать:

$$(t + \theta) \delta_{1,t} - (t_0 + \theta) \delta_{1,t_0} = \int_{\tau=t_0}^t \nabla U_* (\zeta_\tau - \eta) d\tau.$$

Следовательно,

$$\delta_{1,t} = \lambda_t \delta_{1,t_0} + (1 - \lambda_t) \left[ \frac{1}{t - t_0} \int_{\tau=t_0}^t \nabla U_* (\zeta_\tau - \eta) d\tau \right] \in \mathcal{D}_{adm},$$

$$\lambda_t := \frac{t_0 + \theta}{t + \theta} \in [0, 1],$$

то есть  $\delta_{1,t} \in \mathcal{D}_{adm} \forall t \geq t_0$  из-за выпуклости и (11)–(13).

### 4.3 Почему желательна эта динамика $\delta_{1,t}$ ?

**Теорема 1** Если в предположениях A1–A5 прокси-функция  $U(\cdot)$  выбрана так, что ее минимум на допустимом множестве  $\mathcal{D}_{adm}$  достигается в начале координат, то на траекториях  $\delta_{1,t}$ , сгенерированных (15), для всех  $t \geq t_0 \geq 0$  выполняется следующее свойство:

$$F(\delta_{1,t}) - \min_{\delta_1 \in \mathcal{D}_{adm}} F(\delta_1) \leq [F(\delta_{1,t_0}) - F(0)] \frac{t_0 + \theta}{t + \theta}. \quad (16)$$

**Замечание 2** Интересно отметить, что результат (16) не зависит явно от прокси-функции  $U(\cdot)$ . Действительно, определив

$$\delta_1^*(\eta) := \arg \min_{\delta_1 \in \mathcal{D}_{adm}} \{-\eta^\top \delta_1 + U(\delta_1)\} = \nabla U_*(\eta), \quad (17)$$

мы получим

$$\delta_1^*(\eta) |_{\eta=0} = \arg \min_{\delta_1 \in \mathcal{D}_{adm}} U(\delta_1) = 0, \quad (18)$$

что не зависит от выбранной прокси-функции  $U : \mathcal{D}_{adm} \rightarrow \mathbb{R}$ .

### Пример 1 (прокси-функция как квадрат Евклидовой нормы)

Рассмотрим прокси-функцию  $U(\delta_1) = \frac{1}{2} \|\delta_1\|^2$  с евклидовой нормой  $\|\cdot\|$ , т.е.  $\|\cdot\| = \|\cdot\|_2$ , и пусть допустимое множество представляет собой евклидов  $r$ -шар,  $r > 0$ , то есть

$$\mathcal{D}_{adm} := \{\delta_1 \in \mathbb{R}^n : \|\delta_1\|_2 \leq r\}. \quad (19)$$

Чтобы вычислить  $\delta_1^*(\eta)$  в соответствии с (17), достаточно заметить, что решение задачи минимизации

$$2\eta^\top \delta_1 + \|\delta_1\|_2^2 = \|\delta_1 + \eta\|_2^2 - \|\eta\|_2^2 \rightarrow \min_{\|\delta_1\|_2 \leq r}$$

ТАКОВО:

$$\delta_1^*(\eta) = \begin{cases} -\eta & , \text{ если } \|\eta\|_2 \leq r \\ -\frac{\eta}{\|\eta\|_2} r & , \text{ если } \|\eta\|_2 > r \end{cases} .$$

**Пример 2** (энтропийная прокси-функция на симплексе  $\Theta_N$ )

Рассмотрим ограниченный выпуклый многогранник  $X \subset \mathbb{R}^n$  как выпуклая оболочка его  $N$  вершин  $r_i \in X$ ,  $i = 1, \dots, N$ : для любого  $x \in X$  существует такой вектор  $\theta = (\theta_1, \dots, \theta_N)^T \in \Theta_N$ , что

$$x = x(\theta) = \sum_{i=1}^N \theta_i r_i, \quad (20)$$

где

$$\Theta_N = \left\{ \theta = (\theta_1, \dots, \theta_N)^T \mid \forall \theta_i \geq 0, \sum_{i=1}^N \theta_i = 1 \right\} \quad (21)$$

обозначает стандартный  $N$ -симплекс. Введем  $(n \times N)$ -матрицу

$$\Xi := (r_1 \cdots r_N). \quad (22)$$

Следовательно, уравнение (20) может быть записано как

$$x(\theta) = \Xi \theta, \quad \theta \in \Theta_N. \quad (23)$$

Очевидно, выпуклая задача оптимизации

$$F(x) \rightarrow \min_{x \in X}, \quad (24)$$

эквивалентна

$$F(x(\theta)) \rightarrow \min_{\theta \in \Theta_N}. \quad (25)$$

Предполагая, что функция  $F : \text{int } X \rightarrow \mathbb{R}$  выпуклая, выполняется

$$F'_\theta(x(\theta)) = \Xi^T F'_x(x(\theta)) \quad (26)$$

для любого  $\theta \in \text{int } \Theta_N$ . Значит, инерционный МЗС для задачи оптимизации (25) записывается следующим образом:

$$\dot{z}_t = -F'_\theta(x(\theta_t)), \quad z_0 = 0 \in \mathbb{R}^N, \quad (27)$$

$$\mu_t \dot{\theta}_t + \theta_t = \nabla_z U_*(z_t), \quad t \geq 0, \quad \theta_0 \in \text{int } \Theta_N. \quad (28)$$

Здесь  $\mu_t = t + \theta$ ,  $\theta > 0$ , а вектор-функция  $\nabla U_* : \mathbb{R}^N \rightarrow \Theta_N$  имеет

$i$ -ю компоненту

$$\frac{\partial U_*(z)}{\partial z_i} = e^{-z_i} \left( \sum_{k=1}^N e^{-z_k} \right)^{-1}, \quad i = 1, \dots, N. \quad (29)$$

Теперь, применяя отображение  $x(\theta)$  (23) и полагая  $x_t = x(\theta_t)$ , получаем ИМЗС для задачи оптимизации (25) из (26)–(28)

$$\dot{z}_t = -\Xi^T F'(x_t), \quad z_0 = 0 \in \mathbb{R}^N, \quad (30)$$

$$(t + \theta)\dot{x}_t + x_t = \Xi \nabla U_*(z_t), \quad t \geq 0, \quad x_0 \in \text{int } X. \quad (31)$$

Следует использовать дополнительное исходное предположение:

$$\theta \dot{x}_0 + x_0 = \frac{1}{N} \Xi \mathbf{1}_N = \frac{1}{N} \sum_{i=1}^N r_i. \quad (32)$$

Например, если многогранник  $X = \mathcal{D}_{adm}$  является  $\ell_1$ -шаром радиуса  $r$ , тогда

$$\theta \dot{x}_0 + x_0 = \frac{1}{N} \sum_{i=1}^N r_i = 0. \quad (33)$$

# 5 Синтез робастного контроллера.

## Основные результаты

### 5.1 Вспомогательная переменная и ее динамика

Введем

$$s_t = (t + \theta) \delta_{2,t} + \delta_{1,t} - \nabla U_* (\zeta_t - \eta), \quad t \geq t_0 \geq 0.$$

Заметим, что функция  $s_t$  измеряема онлайн, и что ситуация, когда

$$s_t = 0 \quad \text{для всех } t \geq t_0, \quad (34)$$

точно соответствует желаемому режиму (15), начиная с момента  $t_0$ .

Тогда для  $V(s_t) = \frac{1}{2} \|s_t\|_2^2$  в силу уравнений динамического объекта

(8) и первого уравнения в (15) имеем

$$\begin{aligned}
\frac{d}{dt}V(s_t) &= s_t^\top \dot{s}_t = s_t^\top \left[ 2\dot{\delta}_{1,t} + (t + \theta) \dot{\delta}_{2,t} - \frac{d}{dt} \nabla U_* (\zeta_t - \eta) \right] = \\
s_t^\top &\left( 2\delta_{2,t} + (t + \theta) \left[ \mathbf{f}(t, \delta_{1,t} + x_{1,t}^*, \delta_{2,t} + x_{2,t}^*) - \dot{x}_{2,t}^* + u_t \right] - \nabla^2 U_* (\zeta_t - \eta) \dot{\zeta}_t \right) = \\
&\quad (t + \theta) s_t^\top \mathbf{f}(t, \delta_{1,t} + x_{1,t}^*, \delta_{2,t} + x_{2,t}^*) + \\
&\quad (t + \theta) s_t^\top \underbrace{\left[ \frac{2}{t + \theta} \delta_{2,t} - \dot{x}_{2,t}^* + u_t + \frac{1}{t + \theta} \nabla^2 U_* (\zeta_t - \eta) F'(\delta_{1,t}) \right]}_{-k_t \text{Sign}(s_t)} \leq \\
&\quad (t + \theta) \|s_t\|_2 \|\mathbf{f}(t, \delta_{1,t} + x_{1,t}^*, \delta_{2,t} + x_{2,t}^*)\|_2 - (t + \theta) k_t s_t^\top \text{Sign}(s_t) \leq \\
&\quad (t + \theta) \left[ \|s_t\|_2 \underbrace{\left( c_0 + c_1 \|\delta_{1,t} + x_{1,t}^*\|_2 + c_2 \|\delta_{2,t} + x_{2,t}^*\|_2 \right)}_{k_{x,t} := k_x(\delta_{1,t} + x_{1,t}^*, \delta_{2,t} + x_{2,t}^*)} - k_t s_t^\top \text{Sign}(s_t) \right].
\end{aligned}$$

Здесь

$$\text{Sign}(s_t) = (\text{sign}(s_{1,t}), \dots, \text{sign}(s_{n,t}))^\top,$$
$$\text{sign}(s_{i,t}) \begin{cases} = +1 & , \text{ если } s_{i,t} > 0 \\ = -1 & , \text{ если } s_{i,t} < 0 \\ \in [-1, +1] & , \text{ если } s_{i,t} = 0 \end{cases} .$$

## 5.2 Структура робастного управления

Поскольку

$$s_t^\top \text{Sign}(s_t) = \sum_{i=1}^n |s_{i,t}| \geq \|s_t\|_2$$

и вводя

$$k_t = k_{x,t} + \rho, \quad \rho > 0,$$

получаем

$$\frac{d}{dt}V(s_t) \leq (t + \theta) \|s_t\|_2 (k_{x,t} - k_t) = -(t + \theta) \rho \sqrt{2V(s_t)},$$

что дает

$$\begin{aligned} \frac{dV(s_t)}{\sqrt{V(s_t)}} &\leq -(t + \theta) \sqrt{2} \rho dt, \\ 2 \left( \sqrt{V(s_t)} - \sqrt{V(s_{t_0})} \right) &\leq -\frac{\sqrt{2}}{2} \rho \left[ (t + \theta)^2 - (t_0 + \theta)^2 \right], \\ 0 \leq \sqrt{V(s_t)} &\leq \sqrt{V(s_{t_0})} - \frac{\sqrt{2}}{4} \rho \left[ (t + \theta)^2 - (t_0 + \theta)^2 \right]. \end{aligned}$$

Это означает, что для всех  $t \geq t_{reach}$ , где

$$\begin{aligned} t_{reach} &:= \left\{ t : \sqrt{V(s_{t_0})} - \frac{\sqrt{2}}{4} \rho \left[ (t + \theta)^2 - (t_0 + \theta)^2 \right] = 0 \right\} \\ &= \sqrt{\frac{2}{\rho} \|s_{t_0}\|_2 + (t_0 + \theta)^2} - \theta. \end{aligned}$$

Наконец, получаем робастное управление

$$\begin{aligned}
 u_t &= -\frac{2}{t+\theta}\delta_{2,t} + \dot{x}_{2,t}^* - \frac{1}{t+\theta}\nabla^2 U_* (\zeta_t - \eta) F'(\delta_{1,t}) - k_t \text{Sign}(s_t) \\
 &= u_{comp,t} + u_{disc,t},
 \end{aligned} \tag{35}$$

где

$$u_{comp,t} := -\frac{2}{t+\theta}\delta_{2,t} + \dot{x}_{2,t}^* - \frac{1}{t+\theta}\nabla^2 U_* (\zeta_t - \eta) F'(\delta_{1,t}), \tag{36}$$

$$u_{disc,t} := -k_t \text{Sign}(s_t).$$

**Замечание 3** Если мы желаем получить  $t_{reach} = t_0 = 0$ , нам нужно обеспечить равенство

$$s_0 = \theta\delta_{2,0} + \delta_{1,0} - \nabla U_* (-\eta) \stackrel{(17)}{=} \theta\delta_{2,0} + \delta_{1,0} - \delta_1^*(\eta) = 0. \tag{37}$$

Поскольку  $\delta_1^*(\eta) \in \mathcal{D}_{adm}$ , мы можем заключить, что параметры  $\theta > 0, \eta$  и начальные условия  $(\delta_{1,0}, \delta_{2,0})$  должны быть согласованы в том смысле, что

$$\theta\delta_{2,0} + \delta_{1,0} \in \mathcal{D}_{adm}.$$

**Замечание 4** В примере 1 допустимым множеством  $\mathcal{D}_{adm}$  является евклидовыи  $r$ -шар в  $\mathbb{R}^n$ , а прокси-функция  $U(\delta_1) = \frac{1}{2}\|\delta_1\|_2^2$ . Тогда из (11)–(13) получаем градиент сопряженной функции

$$\nabla U_*(\zeta) = \arg \max_{\delta_1 \in \mathcal{D}_{adm}} \{\zeta^\top \delta_1 - U(\delta_1)\} = \begin{cases} \zeta & , \text{ если } \|\zeta\|_2 \leq r \\ r \frac{\zeta}{\|\zeta\|_2} & , \text{ если } \|\zeta\|_2 > r \end{cases} ,$$

(38)

и, следовательно,

$$\begin{aligned} \delta_1^* (\eta) &= \arg \min_{\delta_1 \in \mathcal{D}_{adm}} \{-\eta^\top \delta_1 + U(\delta_1)\} = \\ &= \arg \min_{\delta_1 \in \mathcal{D}_{adm}} \left\{ -\eta^\top \delta_1 + \frac{1}{2} \|\delta_1\|_2^2 \right\} = \eta, \quad \text{если } \|\eta\|_2 \leq r. \end{aligned} \quad (39)$$

Из (36) вытекает

$$\theta \delta_{2,0} + \delta_{1,0} = \eta, \quad \|\eta\|_2 \leq r, \quad (40)$$

и

$$\nabla^2 U_*(\zeta) = \begin{cases} I_{n \times n} & , \text{ если } \|\zeta\|_2 \leq r \\ \frac{r}{\|\zeta\|_2} \left( I_{n \times n} - \frac{\zeta \zeta^T}{\|\zeta\|_2^2} \right) & , \text{ если } \|\zeta\|_2 > r \end{cases} . \quad (41)$$

Заметим, что  $\nabla U_*$ -функция (13) недифференциальная в точках  $r$ -сферы шара и является непрерывно дифференцируемой во всех остальных точках  $\mathbb{R}^n$ . Формулы в (38), (41) представлены в виде их непрерывных версий на шаре.

### 5.3 Основной результат

**Теорема 2** Если в предположениях A1–A5 прокси-функция  $U(\cdot)$  выбрана таким образом, что ее минимум на допустимом множестве достигается в начале координат, то на траекториях  $\delta_{1,t}$  в объекте (8), управляемом (35), для всех  $t \geq t_0 = 0$  выполняется следующее свойство:

$$F(\delta_{1,t}) - \min_{\delta_1 \in \mathcal{D}_{adm}} F(\delta_1) \leq [F(\delta_{1,0}) - F(0)] \frac{\theta}{t + \theta}. \quad (42)$$

## 5.4 Обсуждение

Уравнения (17), (18) и (37) справедливы при  $\theta > 0$ ,  $\eta \in \mathbb{R}^n$  в следующих случаях:

1. Нулевые начальные условия  $\delta_{1,0} = 0$ ,  $\delta_{2,0} = 0$ . Тогда,  $\eta = 0$  для произвольных  $\theta > 0$ ; см. 1-й пример функции потерь (10).
2. Ненулевые начальные условия  $\delta_{1,0}$ ,  $\delta_{2,0}$  являются коллинеарными противоположно направленными векторами. Поэтому,  $\theta > 0$  и  $\eta = 0$  существуют; см. также 1-й пример функции потерь (10).
3. Уравнение (40) выполняется при ненулевом векторе  $\eta$  с достаточно малом  $\|\eta\| \leq \varepsilon$  и для  $\theta > 0$ ; см. 2-й пример функции потерь (10).

## 6 Заключение

- Задача оптимизации слежения за эталонной траекторией при заданном допустимом выпуклом компакте решается с использованием дифференциального управляемого многомерного объекта 2-го порядка с неизвестной ограниченной правой частью модели.
- Желаемая динамика переменных ошибки отслеживания рассчитывается на основе инерционного МЗС, который использует преобразование Лежандра-Фенхеля с выбранной прокси-функцией (в общем, неквадратичной).
- Установлена сходимость целевой функции к минимуму и получена связанная с ней неасимптотическая верхняя граница.

- Доказано, что данный робастный регулятор при определенной связи его параметров с начальными условиями обеспечивает определенный скользящий режим с самого начала процесса управления, а при произвольных начальных условиях реализует скользящий режим после конечного рассчитываемого интервала времени.
- Этот метод может иметь несколько применений при разработке робастного управления в механических системах, особенно в мягкой робототехнике (soft robotics) и динамических движущихся объектах [9, 10].

## СПИСОК ЛИТЕРАТУРЫ

1. Bertsekas D.P., *Constrained Optimization and Lagrange Multiplier Methods* (New York: Academic Press, 1982).
2. Поляк Б.Т. Введение в оптимизацию. М.: Наука, 1983. – 384 с.; 2-е изд., М.: УРСС, 2014. – 392 с.; 3-е изд., М.: УРСС, 2023. – 404 с.
3. Нестеров Ю.Е. Введение в выпуклую оптимизацию. М.: Изд-во МЦНМО, 2010. – 278 с.
4. Boyd S., Vandenberghe L., *Convex optimization* (Cambridge University Press, 2004)
5. Растрингин Л.А. Системы экстремального управления. М.: Наука, 1974. – 632 с.
6. Dechter R., *Constraint Processing* (Morgan Kaufmann Publisher, 2003).

7. Leader J.J., *Numerical Analysis and Scientific Computation* (Addison Wesley, 2004).
8. Sieniutycz S., Jezowski J., “Brief review of static optimization methods,” In *Energy Optimization in Process Systems*, Elsevier Ltd. 1–43 (2009). DOI:10.1016/B978-0-08-045141-1.00001-9.
9. Poznyak A.S., Nazin A.V., Alazki H., “Integral Sliding Mode Convex Optimization in Uncertain Lagrangian Systems Driven by PMDC Motors: Averaged Subgradient Approach,” *IEEE Trans. Autom. Control* **66** (9), 4267–4273 (1–8) (2021).
10. Nazin A.V., Alazki H., Poznyak A.S., “Robust Tracking as Constrained Optimization by Uncertain Dynamic Plant: Mirror Descent Method and ASG—Version of Integral Sliding Mode Control,” *Mathematics* **11**, 4112, (2023)  
<https://doi.org/10.3390/math11194112>.

11. Krstic M., Wang H.H., “Stability of extremum seeking feedback for general nonlinear dynamic systems,” *Automatica* **36** (4), 595–601 (2000).
12. Ariyur K.B., Krstic M., *Real-time optimization by extremum-seeking control* (John Wiley & Sons, 2003).  
DOI:10.1002/0471669784
13. Tan Y., Moase W.H., Manzie C., Nešić D., Mareels I.M.Y., (2010, July), “Extremum seeking from 1922 to 2010,” In *Control Conference (CCC)*, IEEE, 29th Chinese, 2010, 14–26.
14. Tan Y., Nešić D., Mareels I., “On non-local stability properties of extremum seeking control,” *Automatica* **42** (6), 889–903 (2006).
15. Rawlings J.B., Amrit R., “Optimizing process economic performance using model predictive control,” In *Nonlinear Model Predictive Control. Lecture Notes in Control and Information*

- Sciences, vol 384*; Magni, L., Raimondo, D.M., Allgower, F., Eds., (Springer, Berlin, Heidelberg, 2009, 119–138).
16. Dehaan D., Guay M., “Extremum-seeking control of state-constrained nonlinear systems,” *Automatica* **41** (9), 1567–1574 (2005).
  17. Chunlei Z., Odóñez R., “Robust and adaptive design of numerical optimization-based extremum seeking control,” *Automatica* **45** (3), 634–646 (2009).
  18. Solis C.U., Clempner J.B., Poznyak A.S., “Extremum seeking by a dynamic plant using mixed integral sliding mode controller with synchronous detection gradient estimation,” *Int. J. of Robust and Nonlinear Control* **29** (3), 702–714 (2018).
  19. Ferrara A., Utkin V.I., “Sliding Mode Optimization in Dynamic LTI Systems,” *J. Optim. Theory Appl.* **115** (3), 727–740 (2002).

20. Ferrara A., “A variable structure convex programming based control approach for a class of uncertain linear systems,” *Syst. Control. Lett.* **54** (6), 529–538 (2005).
21. Simpson-Porco J.W., “Input/output analysis of primal-dual gradient algorithms,” In *Communication, Control, and Computing (Allerton), 54th Annual Allerton Conference on* (IEEE, 2016, 219–224).
22. Utkin V., *Sliding Modes in Control Optimization*, (Springer Verlag, Berlin, 1992).
23. Fridman L., Poznyak A., Bejarano F.J., *Robust Output LQ Optimal Control via Integral Sliding Modes* (Birkhäuser, Springer Science and Business Media, New York, 2014).
24. Utkin V., Poznyak A., Orlov Y.V., Polyakov A., *Road Map for Sliding Mode Control Design. SpringerBriefs in Mathematics*,

- (Springer International Publishing: Cham, Switzerland, 2020).
25. Назин А.В. Алгоритмы инерционного зеркального спуска в выпуклых задачах стохастической оптимизации // Автомат. и телемех. 2018. Вып. 1. С. 100–112.
  26. Rockafellar R.T., *Convex analysis* (Princeton University Press, Princeton, 1970).
  27. Юдицкий А.Б., Назин А.В., Цыбаков А.Б., Ваятис Н. Рекуррентное агрегирование оценок методом зеркального спуска с усреднением // Пробл. передачи информ. 2005. Т. 41, Вып. 4. С. 78–96.
  28. Ben-Tal A., Nemirovski A.S., *The Conjugate Barrier Mirror Descent Method for Non-Smooth Convex Optimization* MINERVA Optim. Center Report. (Haifa, Faculty of Industrial Engineering and Management, Technion – Israel Institute of

Technology, 1999).

[http://iew3.technion.ac.il/Labs/Opt/opt/Pap/CP\\_MD.pdf](http://iew3.technion.ac.il/Labs/Opt/opt/Pap/CP_MD.pdf)

29. Rockafellar R.T., Wets R.J.B., *Variational Analysis* (New York, Springer, 1998).
30. Немировский А. С., Юдин Д. Б. Сложность задач и эффективность методов оптимизации. М.: Наука, 1979. – 384 с.
31. Juditsky A., Nesterov Yu., “Deterministic and stochastic primal-dual subgradient algorithms for uniformly convex minimization,” *Stoch. Syst.* **4**(1), 44–80 (2014). DOI: 10.1214/10-SSY010

БЛАГОДАРЮ ЗА ВНИМАНИЕ !!!